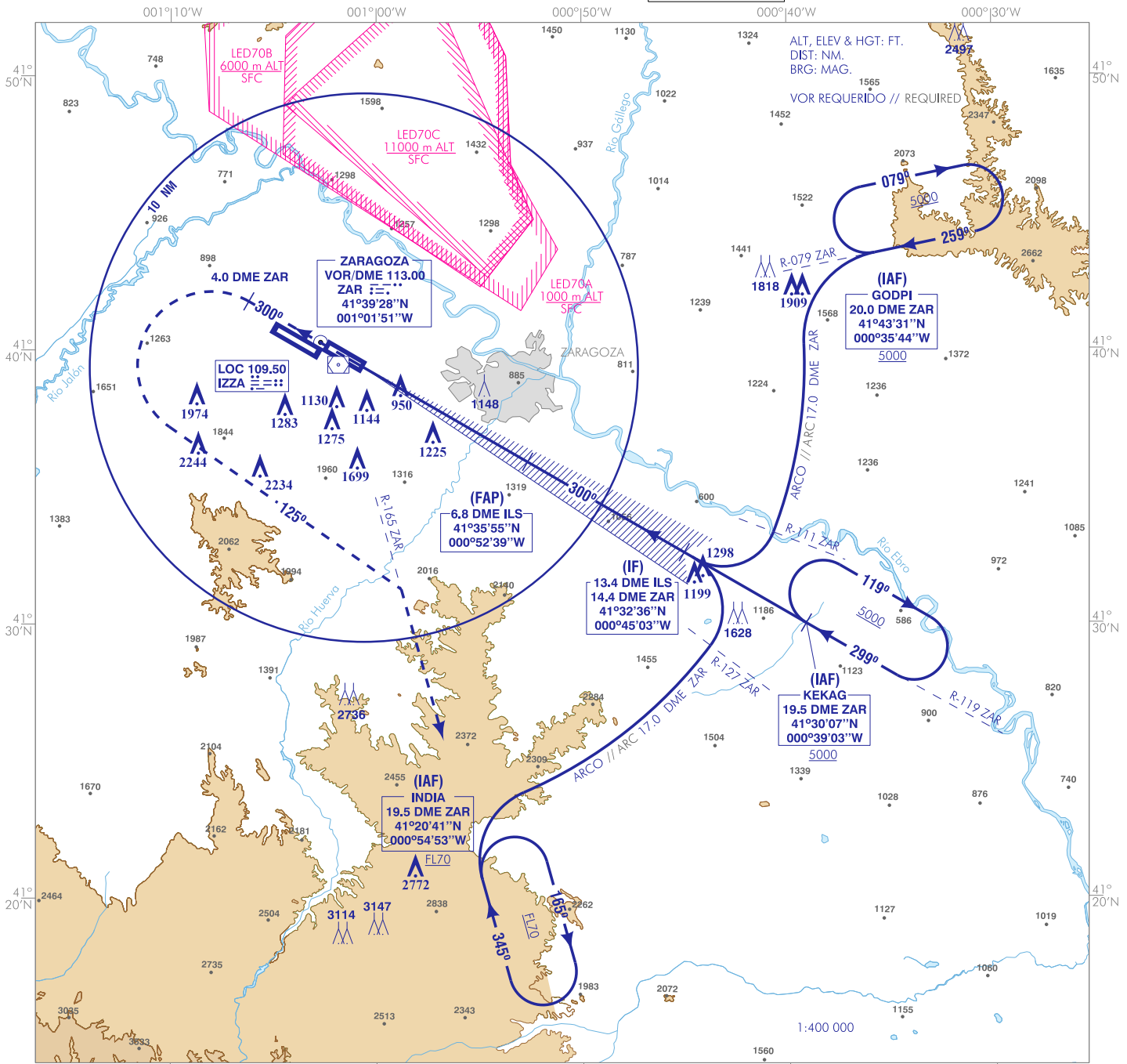


CARTA DE APROXIMACIÓN
POR INSTRUMENTOS-MIPS

ELEV AD
862
VAR 0° (2015)

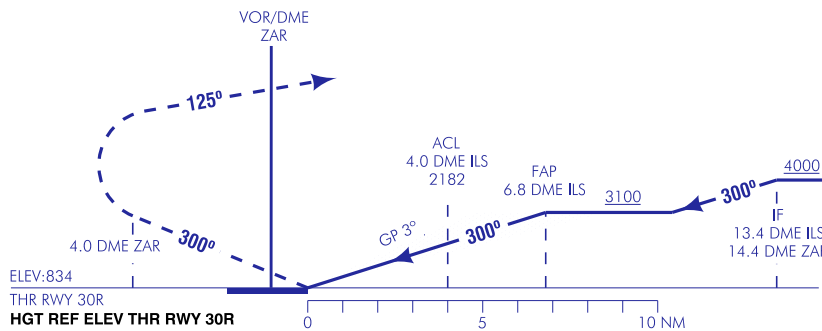
APP 119.300
296.750
TWR 122.100
292.200
GCA 130.025

ZARAGOZA
ILS/DME CAT II & III
RWY 30R



FRUSTRADA: ASCENDER DIRECTO A 4.0 DME ZAR. VIRAR A LA IZQUIERDA Y ASCENDER EN RUMBO 125° HASTA INTERCEPTAR R-165 ZAR, CONTINUAR ASCIENDIENDO A FL70 DIRECTO A INDIA PARA INTEGRARSE A LA ESPERA.

MISSED APCH: CLIMB STRAIGHT AHEAD TO 4.0 DME ZAR. TURN LEFT AND CLIMB ON HEADING 125° TO INTERCEPT R-165 ZAR CLIMB STRAIGHT TO FL70 DIRECT TO INDIA AND HOLD.



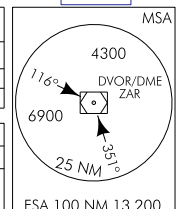
CAMBIOS: NOMBRE DEL IAF KEKAG.
CHANGES: NAME OF IAF KEKAG.

CAT	HGT REF ELEV THR RWY 30R			
	A	B	C	D
S-ILS CAT I 2.5%	1247-1.2* 413 (500-1.2)		1247-1.6* 413 (500-1.6)	
S-ILS CAT I 3.5%	1034-0.8* 200 (200-0.8)		1034-1.2* 200 (200-1.2)	
S-ILS CAT II 2.5%	1127-1.2* 293 (300-1.2)			
S-ILS CAT II 3.5%	934-0.4* 100 (100-0.4)		948-1.2 114 (200-1.2)	
CIRCUITO CIRCLING	1500-1.6 640 (700-1.6)	1610-2.0 750 (800-2.0)	2600-4.8 1740 (1800-4.8)	

GS	kt	80	100	120	140	160	180
FAF-THR:	min:s						
FAF-MAPT:	ft/min						
ROD: 5.2%	ft/min	425	531	637	743	849	955

ALT/HGT DME (ILS) FNA											
13	12	11	10	9	8	7	6	5	4	3	
							2840 (2000)	2510 (1670)	2190 (1350)	1860 (1020)	1540 (700)

ILS RDH 54
TA 6000



ZARAGOZA AD

REQUISITOS DE LA BASE DE DATOS AERONÁUTICA
 AERONAUTICAL DATABASE REQUIREMENTS

PROCEDIMIENTOS DE APROXIMACIÓN POR INSTRUMENTOS // INSTRUMENT APPROACH PROCEDURES

ILS/DME RWY 30R

PUNTO POINT	LATITUD LATITUDE	LONGITUD LONGITUDE	AZIMUT VERDADERO TRUE BEARING	DISTANCIA DME DME DISTANCE (NM)
VOR/DME ZAR	41°39'24.4"N	001°01'51.1"W	—	—
GODPI (IAF)	41°43'31.0"N	000°35'44.0"W	078.19° (ZAR)	20.0 DME ZAR
INDIA (IAF)	41°20'41.0"N	000°54'53.0"W	164.38° (ZAR)	19.5 DME ZAR
→ KEKAG (IAF)	41°30'06.7"N	000°39'03.3"W	118.55° (ZAR)	19.5 DME ZAR
IF	41°32'35.8"N	000°45'03.0"W	118.51° (ZAR)	14.4 DME ZAR
FAP	41°35'54.7"N	000°52'38.8"W	120.01° (LOC IZZA)	6.8 DME ILS
Aproximación final de precisión - Pendiente (Ángulo de descenso) // Precision final approach - Slope (Descent angle)				5.24% (3.01°)